

УДК 532.546.06

## ПРИТОК НЕФТИ К ГОРИЗОНТАЛЬНОЙ СКВАЖИНЕ ПРИ НАЛИЧИИ ПОДОШВЕННОЙ ВОДЫ

Ю. И. Капранов, В. Н. Эмих

Институт гидродинамики им. М. А. Лаврентьева СО РАН, 630090 Новосибирск  
E-mail: emikh@hydro.nsc.ru

Получены точные решения ряда двумерных задач установившегося притока жидкости к горизонтальной скважине при наличии в напорном пласте покоящейся подошвенной жидкости большей плотности или расположенной под кровлей пласта жидкости меньшей плотности.

**Ключевые слова:** горизонтальная скважина, годограф скорости фильтрации, параметры отображения, граница раздела, критический режим течения.

**Введение.** Для практики нефтедобычи характерны ситуации, когда с достаточной степенью точности область течения может быть разбита на несколько частей, отделенных друг от друга заранее неизвестными границами раздела. В каждой из указанных подобластей перемещается жидкость, отличающаяся по своим свойствам от жидкостей, расположенных в соседних подобластях [1, 2]. Среди наиболее известных проблем, имеющих отношение к течениям подобного рода, отметим проблему образования так называемого конуса подошвенной воды [2–4]. Подходы к построению решения таких задач, имеющие, как правило, приближенный характер, наиболее полно разработаны для вертикальных скважин. С практической точки зрения основной целью указанных исследований является выяснение условий, гарантирующих невозможность прорыва подошвенной воды в эксплуатационную скважину.

В последние десятилетия большое внимание уделяется аналогичным проблемам в случае горизонтальных скважин, обладающих рядом преимуществ по сравнению с вертикальными. В частности, располагаясь вдоль напластования, они имеют существенно большую площадь контакта с залежью, что обеспечивает значительно более высокие темпы нефтедобычи. Вместе с тем по той же причине в случае прорыва подошвенной воды в горизонтальную скважину темпы ее обводнения существенно выше, чем в случае вертикальной скважины. С учетом сказанного большое значение приобретают исследования, направленные на выделение класса течений, являющихся критическими в режиме безводной нефтеотдачи.

Строго говоря, анализ подобных режимов возможен лишь на основе точных решений соответствующих задач. Однако в силу сложности последних таких решений немного не только для нестационарных, но и для стационарных задач. Простое аналитическое решение для критического режима течения в однородном не ограниченном по протяженности бесконечно тонком наклонном пласте впервые получено в работе [5] при рассмотрении линейной периодической цепочки скважин, моделируемых точечными стоками. К числу

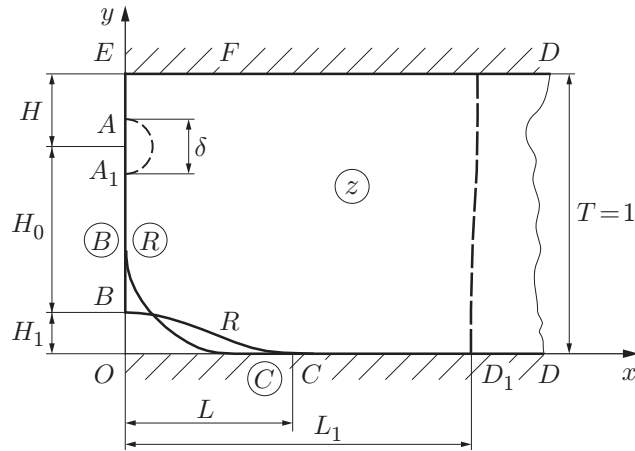


Рис. 1. Область течения в пласте с подошвенной жидкостью

достоинств указанной работы следует отнести простоту построенного решения. Настоящая работа также посвящена построению точных решений для случая горизонтальной скважины, однако в отличие от работы [5] принятая здесь постановка более приближена к реальным условиям.

**1. Постановка задачи, параметрическое представление решения.** Общая схема течения представлена на рис. 1. Движение предполагается установившимся двумерным в вертикальной плоскости  $xOy$ , а ось  $Ox$  — направленной горизонтально. Пласт мощности  $T$  считается однородным, не ограниченным по протяженности, подошва пласта  $y = 0$  и его кровля  $y = T$  непроницаемы. На расстоянии  $H$  от кровли расположена добывающая горизонтальная скважина, ось которой перпендикулярна плоскости  $xOy$ . Скважина функционирует с постоянным дебитом  $2Q$  на единицу ее длины. В плоскости течения ей соответствует точка  $A$ .

Рассматривается симметричный относительно оси  $Oy$  приток из бесконечности к скважине жидкости с плотностью  $\rho_1$  и вязкостью  $\mu_1$ . В нижней части пласта, отделенной от основной части потока границей раздела  $BC$ , находится покоящаяся жидкость с плотностью  $\rho_2 > \rho_1$  и вязкостью  $\mu_2$ , не совпадающей в общем случае с  $\mu_1$ . Принятую схему можно интерпретировать не только как откачку нефти из пласта, подстилаемого подошвенной водой, но и, например, как течение к скважине в водоносном пласте, содержащем более тяжелую загрязненную жидкость. При любой подобной трактовке основной задачей является расчет режима эксплуатации пласта, исключая прорыв подошвенной жидкости в скважину. На рис. 1 представлена исследуемая правая половина области течения.

Соответствующая краевая задача состоит в нахождении комплексного потенциала течения  $\omega = \varphi + i\psi$  как аналитической функции координат  $z = x + iy$  точек области фильтрации при следующих граничных условиях:

$$\begin{aligned} AE: \quad x = 0, \quad \psi = 0; \quad AB: \quad x = 0, \quad \psi = Q; \quad ED: \quad y = 1, \quad \psi = 0; \\ CD: \quad y = 0, \quad \psi = Q; \quad BC: \quad \varphi - \rho y = \text{const}, \quad \psi = Q \quad (\rho = (\rho_2 - \rho_1)/\rho_1). \end{aligned} \tag{1}$$

Здесь и далее используются функции  $\omega$  и  $z$ , отнесенные соответственно к величинам  $\kappa_1 T$  и  $T$  ( $\kappa_1$  — коэффициент фильтрации движущейся жидкости). Первое условие на участке  $BC$  — следствие предположения о неподвижности подошвенной воды и динамического условия непрерывности давления при переходе через границу раздела между нефтью и водой [1–3].

Для получения параметрического представления решения отобразим на полуплоскость  $\text{Im } \zeta \geq 0$  (рис. 2) область комплексного потенциала  $\omega$  (рис. 3) и область функции  $1/w$

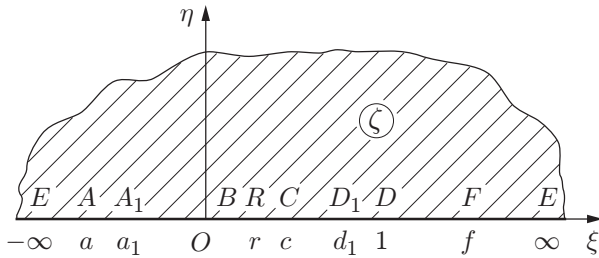


Рис. 2

Рис. 2. Полу плоскость вспомогательной комплексной переменной

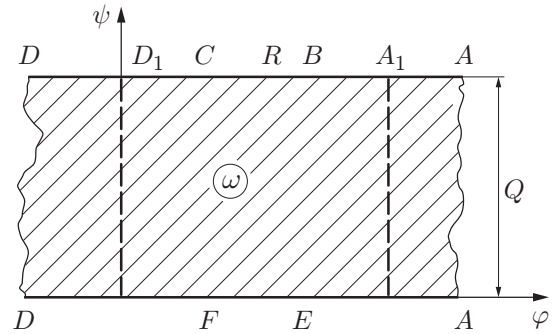


Рис. 3

Рис. 3. Область комплексного потенциала

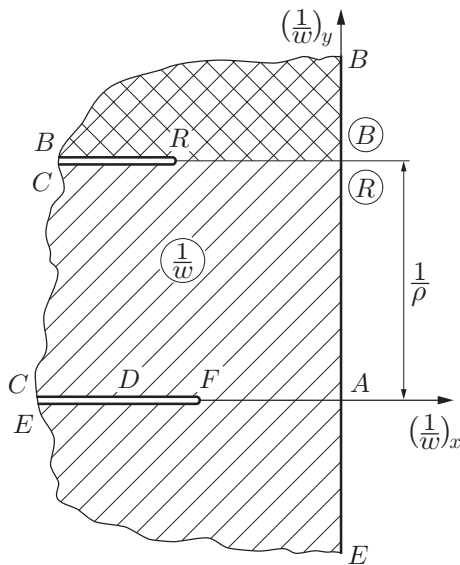


Рис. 4

Рис. 4. Область инверсии годографа скорости

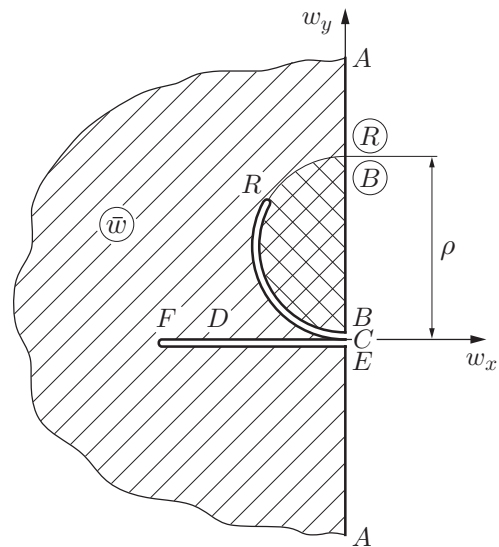


Рис. 5

Рис. 5. Область годографа скорости

(рис. 4), которая осуществляет инверсию годографа скорости фильтрации  $\bar{w} = w_x + iw_y$  (рис. 5) относительно окружности единичного радиуса с центром в начале координат. Указанные отображения можно представить в виде

$$\omega = \omega_C - \frac{Q(1-a)}{\pi} \int_c^\zeta \frac{d\zeta}{(\zeta-a)(1-\zeta)} = \omega_C - \frac{Q}{\pi} \ln \frac{(\zeta-a)(1-c)}{(1-\zeta)(c-a)}; \tag{2}$$

$$\frac{1}{w} = \frac{dz}{d\omega} = iM \int_a^\zeta \frac{(f-\zeta)(r-\zeta)d\zeta}{(c-\zeta)(-\zeta)\sqrt{-\zeta}} = 2iM \left\{ Z \left[ 1 + \frac{fr}{c\sqrt{a\zeta}} \right] + \sigma [G(\zeta) - G] \right\} \tag{3}$$

$(-\infty < \zeta \leq 0),$

где

$$Z = \sqrt{-a} - \sqrt{-\zeta}, \quad G(\zeta) = \operatorname{arctg} \sqrt{-c/\zeta}, \quad G = G(a), \quad \sigma = (f - c)(c - r)/\sqrt{c^3}. \quad (4)$$

Основной проблемой является нахождение входящих в представления (2)–(4) параметров  $a, c, f, r, M$ . Для определения величины  $\omega_C$ , содержащейся в зависимости (2), следует задать значение  $\omega$  в некоторой точке пласта, что потребуется в п. 4 при ином варианте постановки задачи. В принятой постановке, основанной на задании дебита скважины, когда давление может быть определено лишь с точностью до произвольной постоянной, такая детализация не нужна.

**2. Критический режим течения.** На первом этапе исследуем ограничения на значения параметра  $Q$ , исключающие возможность прорыва подошвенной воды в скважину. Рассмотрим случай  $r = 0$ . При этом область  $\omega$  и соответствующая ей зависимость (2) сохраняются, в то время как в области  $\bar{w}$  вершина  $R$  дугового разреза выходит на ось  $w_y$ , совмещаясь при этом с точкой  $B$ . В результате из годографа выпадает полукруг  $\{|w - i\rho/2| \leq \rho/2, w_y \leq 0\}$ , а из области инверсии годографа — квадрант  $\{\operatorname{Im}(1/w) \geq 1/\rho, \operatorname{Re}(1/w) \leq 0\}$ . На рис. 4, 5 указанные подобласти заштрихованы в двух направлениях. Соответствующие этому предельному случаю точки  $B, R$ , а на рис. 1 и точка  $C$ , заключены в кружки.

Следствием соотношения

$$p = -\rho_1 g(\varphi + y) \quad (5)$$

является неравенство  $dp/dy = -\rho_1 g(w_y + 1) \leq -\rho_2 g$ , выполняющееся на участке  $AB$ . При этом равенство, характеризующее гидростатическое равновесие нижележащей жидкости, сохраняется только в точке  $B$ , а в остальных точках отрезка  $AB$  градиент гидродинамического давления превышает стабилизирующее воздействие силы тяжести на подошвенную воду, и дальнейшее сколь угодно малое понижение давления должно вовлечь ее в поток. Таким образом, в критическом режиме определяется максимально допустимый дебит скважины.

В соответствии с перечисленными выше изменениями области инверсии годографа зависимость (3) для участка  $EAB$  границы принимает вид

$$\frac{1}{w} = 2iM[\tau(-a) - \tau(-\zeta)], \quad \tau(t) = \frac{f - c}{\sqrt{c}} \operatorname{arctg} \sqrt{\frac{t}{c}} + \sqrt{t}. \quad (6)$$

При  $\zeta = 0$ ,  $w = -i\rho$  отсюда следует

$$2\rho M\tau(-a) = 1. \quad (7)$$

На участке  $BC$  ( $0 \leq \zeta \leq c$ ) с учетом (6) имеем

$$\frac{1}{w} = i \frac{1}{\rho} - M \int_0^{\zeta} \frac{(f - \zeta) d\zeta}{(c - \zeta)\sqrt{\zeta}}.$$

Сравнивая приращения обеих частей последнего равенства при обходе точки  $C$  (см. рис. 4), находим

$$M = \sqrt{c}/[\pi\rho(f - c)]. \quad (8)$$

Подставляя это выражение вместо  $M$  в (7) и учитывая затем представления (4) и (6) для  $G$  и  $\tau(t)$  соответственно, получаем соотношение

$$\sqrt{-ac}/(f - c) = G.$$

С учетом равенства (8) выражаем параметры  $M$ ,  $f$  через  $a$  и  $c$ :

$$M = G/(\pi\rho\sqrt{-a}), \quad f = c + \sqrt{-ac}/G. \quad (9)$$

Используя (9), представим зависимость (6) в виде

$$\frac{1}{w} = i \frac{2}{\pi\rho} \left( G(\zeta) - \sqrt{\frac{\zeta}{a}} G \right) \quad (-\infty < \zeta \leq 0). \quad (10)$$

На двух других участках действительной оси плоскости  $\zeta$  указанная зависимость преобразуется следующим образом:

$$\frac{1}{w} = -\frac{1}{\pi\rho} \left( \Lambda(\zeta) + 2\sqrt{-\frac{\zeta}{a}} G \right) + i \frac{1}{\rho} \quad (0 \leq \zeta \leq c); \quad (11)$$

$$\frac{1}{w} = -\frac{1}{\pi\rho} \left( \Lambda(\zeta) + 2\sqrt{-\frac{\zeta}{a}} G \right), \quad \Lambda(\zeta) = \ln \left| \frac{\sqrt{\zeta} + \sqrt{c}}{\sqrt{\zeta} - \sqrt{c}} \right| \quad (c \leq \zeta < \infty). \quad (12)$$

Согласно (3) в каждой точке области течения имеет место равенство  $dy/dx = \text{Im}(1/w)/\text{Re}(1/w)$ . С учетом (11) отсюда следует  $\lim_{\zeta \rightarrow +0} (dy/dx) = -\infty$ . Таким образом, в рассматриваемом предельном случае точка  $B$  является точкой заострения линии раздела  $BC$ .

Полагая в равенстве (12)  $\zeta = 1$ ,  $w = -Q$ , получаем уравнение

$$\Pi - 2G/\sqrt{-a} = 0, \quad (13)$$

где

$$\Pi = \frac{\pi\rho}{Q} - \ln \frac{1 + \sqrt{c}}{1 - \sqrt{c}}. \quad (14)$$

Уравнение (13) однозначно определяет зависимость  $c = c(a)$  в каждой точке полуоси  $a < 0$ , причем  $c \in (0, 1)$ .

В число задаваемых физических параметров входит отсчитываемая от кровли пласта глубина  $H$  точечного стока  $A$ , моделирующего скважину (см. рис. 1). С учетом первого равенства в (3) и зависимостей (2), (10) для величины  $H$  получаем представление

$$H = \frac{2Q(1-a)}{\pi^2\rho} \int_{-\infty}^a \frac{\sqrt{\zeta/a} G - G(\zeta)}{(a-\zeta)(1-\zeta)} d\zeta, \quad (15)$$

используемое для нахождения параметра  $a$ . При этом правая часть (15) рассматривается как сложная функция  $F(a)$  параметра  $a$ , т. е. в качестве  $c$  в ней используется определяемая из (13) зависимость  $c = c(a)$ . Результаты численных расчетов показывают, что функция  $F(a)$  монотонно возрастает от 0 до 1 при изменении параметра  $a$  от  $-\infty$  до 0. В силу этого параметры  $a$  и  $c$  однозначно определяются в интервалах их изменения при любом значении  $H \in (0, 1)$ . Затем по формулам (9) вычисляются параметры  $M$  и  $f$ .

После нахождения всех параметров отображения определяется расстояние  $H_0$  от стока  $A$  до вершины  $B$  конуса подошвенной воды (см. рис. 1). Выражение для этой величины также найдем с учетом зависимости (10) (ср. с (15)):

$$H_0 = \frac{2Q(1-a)}{\pi^2\rho} \int_a^0 \frac{G(\zeta) - \sqrt{\zeta/a} G}{(\zeta-a)(1-\zeta)} d\zeta.$$

Интегрируя первое равенство в (3) с использованием зависимостей (2) и (11), получим комплексно-параметрическое уравнение границы  $BC$  между нефтью и водой

$$x + iy = \frac{Q(1-a)}{\pi^2\rho} \int_0^\zeta \frac{\Lambda(\zeta) + 2\sqrt{-\zeta/a}G}{(\zeta-a)(1-\zeta)} d\zeta + i\left(H_1 - \frac{Q}{\pi\rho} N(\zeta)\right),$$

$$N(\zeta) = \ln \frac{\zeta-a}{(1-\zeta)(-a)}.$$
(16)

Полагая  $\zeta = c$ ,  $x = L$ ,  $y = 0$ , получим формулы для вычисления ширины  $L$  и высоты  $H_1$  гребня подошвенной воды:

$$L = \frac{Q(1-a)}{\pi^2\rho} \int_0^c \frac{\Lambda(\zeta) + 2\sqrt{-\zeta/a}G}{(\zeta-a)(1-\zeta)} d\zeta, \quad H_1 = \frac{Q}{\pi\rho} N \quad (N = N(c)).$$

Величины  $H$ ,  $H_0$  и  $H_1$  связаны соотношением  $H + H_0 + H_1 = 1$ , которое можно использовать либо как контрольное, либо для нахождения одной из двух величин  $H_0, H_1$  после определения другой.

Одной из основных характеристик течения, вычисляемых в критическом режиме, является максимальный объем  $V$  подошвенной воды, остающейся неподвижной при данном дебите  $Q$  скважины:

$$V = \int_0^c y \left( \frac{dx}{d\zeta} \right) d\zeta.$$
(17)

Содержащиеся в правой части этого выражения координаты  $x, y$  границы раздела  $BC$  определены в (16).

Зависимость от величин  $Q$  и  $\rho$  в уравнениях (13), (15) и во всех соотношениях, полученных на основе представления для  $z$ , выражается только через отношение  $q = Q/\rho$ . Это означает, что параметры отображения и геометрические характеристики потока (включая  $V$ ) инвариантны при пропорциональном изменении  $Q$  и  $\rho$ . В таблице приведены значения  $V$  в рассматриваемом предельном случае, вычисленные при различных значениях  $H$  и  $q$ . Из таблицы следует, что при малых значениях величины  $V$  она обратно пропорциональна  $q^2$ . С учетом зависимостей для  $1/w$  из сказанного выше следует, что при пропорциональном изменении величин  $Q$  и  $\rho$  пропорционально изменяются и составляющие скорости фильтрации в каждой точке потока.

$H$	$V$						
	$q = 0,2$	$q = 0,5$	$q = 1$	$q = 5$	$q = 10$	$q = 50$	$q = 100$
0	0,8047	0,2788	0,1021	0,0052	0,0013	$52 \cdot 10^{-6}$	$13 \cdot 10^{-6}$
0,1	0,7582	0,2629	0,0967	0,0049	0,0012	$50 \cdot 10^{-6}$	$12 \cdot 10^{-6}$
0,2	0,6523	0,2229	0,0823	0,0042	0,0011	$43 \cdot 10^{-6}$	$12 \cdot 11^{-6}$
0,3	0,5188	0,1716	0,0630	0,0033	$82 \cdot 10^{-5}$	$33 \cdot 10^{-6}$	$82 \cdot 10^{-7}$
0,4	0,3776	0,1193	0,0431	0,0022	$56 \cdot 10^{-5}$	$22 \cdot 10^{-6}$	$56 \cdot 10^{-7}$
0,5	0,2447	0,0731	0,0257	0,0013	$33 \cdot 10^{-5}$	$13 \cdot 10^{-6}$	$33 \cdot 10^{-7}$
0,6	0,1337	0,0377	0,0128	$62 \cdot 10^{-5}$	$16 \cdot 10^{-5}$	$62 \cdot 10^{-7}$	$16 \cdot 10^{-7}$
0,7	0,0559	0,0150	0,0048	$22 \cdot 10^{-5}$	$56 \cdot 10^{-6}$	$22 \cdot 10^{-7}$	$56 \cdot 10^{-8}$
0,8	0,0148	0,0037	0,0011	$48 \cdot 10^{-6}$	$12 \cdot 10^{-6}$	$48 \cdot 10^{-8}$	$12 \cdot 10^{-8}$
0,9	0,0014	$29 \cdot 10^{-5}$	$77 \cdot 10^{-6}$	$31 \cdot 10^{-7}$	$78 \cdot 10^{-8}$	$31 \cdot 10^{-9}$	$78 \cdot 10^{-10}$

Далее нижним индексом “\*” отмечены фильтрационные характеристики и параметры отображения, вычисленные в критическом режиме, если в общем случае их значения отличаются от предельных.

На практике критический режим откачки можно выявить, увеличивая дебит скважины до тех пор, пока в скважину не начнет поступать подошвенная вода. Неизвестный изначально объем  $V$  подошвенной воды вычисляется по формуле (17) и используется затем в качестве одного из параметров, определяющих характеристики течения в нормальном режиме, когда  $Q < Q_*$ .

**3. Общий случай.** Зависимости (2), (3), используемые при решении краевой задачи в общем случае, содержат пять неизвестных параметров:  $M$ ,  $a$ ,  $c$ ,  $f$ ,  $r$ . Как и для критического режима, алгоритм их нахождения в конечном счете сводится к решению системы уравнений относительно параметров  $a$ ,  $c$ , через которые предварительно следует выразить параметры  $M$ ,  $f$ ,  $r$ .

На отрезке  $BC$  ( $0 \leq \zeta \leq c$ ) равенство (3) представим в виде

$$\frac{1}{w} = -M \left( 2 \frac{\Phi(\zeta)}{\sqrt{\zeta}} + \sigma \Lambda(\zeta) \right) - 2iM \left( \frac{ac + fr}{c\sqrt{-a}} - \sigma \operatorname{arctg} \sqrt{-\frac{a}{c}} \right), \quad \Phi(\zeta) = \zeta + \frac{fr}{c}, \quad (18)$$

где функция  $\Lambda(\zeta)$  определена в (12). Сравнивая приращения обеих частей равенства (18) при обходе точки  $C$  и учитывая выражения (4) для  $\sigma$ , находим

$$M = \frac{1}{\pi\rho} \frac{\sqrt{c^3}}{(f-c)(c-r)}. \quad (19)$$

Так как  $\operatorname{Im}(1/w) = 1/\rho$  на  $BC$ , в силу (18), (19) имеем

$$\frac{-ac - fr}{(f-c)(c-r)} = \sqrt{-\frac{a}{c}} G. \quad (20)$$

На участке  $CE$  ( $c \leq \zeta < \infty$ ) зависимость для  $1/w$  принимает вид

$$\frac{1}{w} = -2M \left( \sqrt{\zeta} + \frac{fr}{c\sqrt{\zeta}} \right) - \frac{1}{\pi\rho} \Lambda(\zeta).$$

Полагая  $\zeta = 1$ ,  $w = -Q$  и используя (19), (20), отсюда получаем

$$\Pi - \frac{2\sqrt{c}(c+fr)}{(f-c)(c-r)} = 0, \quad (21)$$

где функция  $\Pi$  определена в (14). Исключая из равенства (21) параметр  $f$  с учетом (20), имеем уравнение

$$\begin{aligned} Ar^2 + Br + C &= 0, \\ B &= 2(1-c)\sqrt{-a}G - (c-a)\Pi - 2(1-a)\sqrt{c}, \\ A &= 2\sqrt{-a}G + \Pi, \quad C = -ac(\Pi - 2G/\sqrt{-a}). \end{aligned} \quad (22)$$

Так как при взаимной перестановке параметров  $f$  и  $r$  все зависимости, приводящие к уравнению (22), сохраняются, исключая из (21) параметр  $r$ , получим идентичное (22) уравнение относительно  $f$ , имеющее следующие корни:

$$r_{1,2} = -B \pm \sqrt{\Delta} \quad (\Delta = B^2 - 4AC). \quad (23)$$

Из равенства (21) следует, что  $\Pi > 0$ . С учетом этого и с использованием оценки  $G < \sqrt{-c/a}$  получим

$$B < 0, \quad \Delta > 0.$$

Отсюда заключаем, что корни (23) уравнения (22) действительные. Меньший из них  $r_2$  содержится в интервале  $(0, c)$ , определяя тем самым параметр  $r$  (см. рис. 5), а больший удовлетворяет неравенству  $r_1 > c$  и определяет параметр  $f$ . Поскольку в исследуемой схеме течения корни уравнения (22) положительны, должно выполняться условие  $C > 0$ , т. е.

$$F(a, c) = \Pi - 2G/\sqrt{-a} > 0. \quad (24)$$

В силу (19), (20) и уравнения (22) нахождение неизвестных параметров отображения сводится к определению параметров  $a, c$  при тех же величинах  $H, V$ , что и в предельном случае.

Интегрируя (3), с учетом (2) имеем

$$H = \frac{2Q(1-a)}{\pi^2\rho} \int_{-\infty}^a \frac{[G - G(\zeta)] - \pi\rho MZ[1 + fr/(c\sqrt{a\zeta})]}{(a-\zeta)(1-\zeta)} d\zeta. \quad (25)$$

Используя зависимости (2), (3), (17), получаем параметрическое представление границы раздела  $BC$

$$x + iy = \frac{Q(1-a)}{\pi^2\rho} \int_0^\zeta \frac{2\pi\rho M\Phi(\zeta) + \Lambda(\zeta)\sqrt{\zeta}}{(\zeta-a)(1-\zeta)\sqrt{\zeta}} d\zeta + i\left(H_1 - \frac{Q}{\pi\rho} N(\zeta)\right). \quad (26)$$

Входящая в это представление функция  $N(\zeta)$  определена в (14).

Согласно (17) и (26) величина  $V$  определяется равенством

$$V = H_1 L - \frac{Q^2(1-a)}{\pi^3\rho^2} \int_0^c \frac{2\pi\rho M\Phi(\zeta) + \Lambda(\zeta)\sqrt{\zeta}}{(\zeta-a)(1-\zeta)\sqrt{\zeta}} N(\zeta) d\zeta. \quad (27)$$

Величины  $L, H_1$  вычисляются с учетом (26) при  $\zeta = c$ .

При вычислении параметров  $a, c$  из уравнений (25) и (27) используем вложенные итерации. Правая часть уравнения (27) рассматривается как сложная функция параметра  $c$ . Это означает, что для каждого значения  $c$ , фиксируемого в ходе решения уравнения, параметр  $a$  определяется из уравнения (25). Численно устанавливается, что правая часть уравнения (25) монотонно возрастает от нуля до некоторого значения  $H_* > H$  с увеличением параметра  $a$  от  $-\infty$  до  $a_*$ , а правая часть уравнения (27) возрастает от нуля до  $V_* > V$  с возрастанием параметра  $c$  от нуля до значения  $c_*$ , которое, как и значение  $a_*$ , вычисляется предварительно для предельного режима течения при выбранном значении  $Q < Q_*$ . Сказанное выше обеспечивает однозначную разрешимость описанной итерационной процедуры, при этом

$$a \in (-\infty, a_*), \quad c \in (0, c_*). \quad (28)$$

С физической точки зрения неравенство  $V_* > V$  означает, что меньшим значениям дебита скважины соответствуют большие значения максимального объема  $V_*$  подошвенной воды, остающейся в состоянии покоя.

Возвращаясь к неравенству (24), заметим, что содержащаяся в нем функция  $F(a, c)$  монотонно возрастает с уменьшением каждого из параметров  $a$  и  $c$ . С учетом (13) отсюда следует, что при ограничениях (28) неравенство (24) выполняется. В процессе решения системы уравнений (25), (27) вычисляются также входящие в них параметры  $f, r, M$ . Используя соотношения (22), (23), можно показать, что в предельном случае, при  $r_2 = C = 0$ , корень  $r_1 = -B/A$  определяется тем же выражением, что и параметр  $f$  в (9).



На основе зависимостей (2), (3) получим выражение для величины  $H_0$  в следующем виде:

$$H_0 = \frac{2Q(1-a)}{\pi^2\rho} \int_a^0 \frac{[G(\zeta) - G] + \pi\rho MZ[1 + fr/(c\sqrt{a\zeta})]}{(\zeta - a)(1 - \zeta)} d\zeta.$$

Для контроля вычислений в общем случае также можно использовать соотношение  $H + H_0 + H_1 = 1$ .

**4. Об одной модификации исходной постановки задачи.** Предположим, что по обе стороны от скважины на одинаковом расстоянии от нее находятся контуры питания с заданными на них напорами; при этом сохраняется заложенная в первоначальную постановку симметрия потока относительно плоскости  $x = 0$ . В схему течения включается также внутренняя эквипотенциаль, имеющая с контуром скважины общую точку  $A_1$ , давление  $p_1$  в которой должно быть задано. Граничные эквипотенциали области фильтрации обозначены на рис. 1, 3 штриховыми линиями.

В самой скважине непосредственно можно измерить давление  $p_0$ , связанное с величиной  $p_1$  соотношением  $\Delta p = p_1 - p_0$ , где  $\Delta p$  характеризует потери давления при прохождении жидкости через фильтр скважины. Величина  $Q$  подлежит определению.

В рассматриваемой постановке (в отличие от исходной) предварительно следует определить постоянную  $\omega_C$  в представлении (2) для потенциала  $\omega$ , связанного с давлением соотношением (5). Используем для этого условие

$$p_{D_1} = \varphi_{D_1} = 0. \quad (29)$$

В соответствии с (29) нижняя точка  $D_1$  контура питания принимается в качестве точки отсчета значений давления и потенциала, при этом в области течения  $p < 0$ ,  $\varphi > 0$ .

Основу вычислительного алгоритма составляет нахождение дебита  $Q \in (0, Q_*)$  при  $p_1 = p_0 + \Delta p$ , где  $p_0 \in (0, p_{0*})$  — заданное давление в скважине. В конечном счете эта операция сводится к численному решению уравнения

$$p_1^0 = \frac{p_1}{\rho_1 g} = -\varphi_1 - H_0 - H_1 + \frac{\delta}{2}, \quad \varphi_1 = \varphi_{A_1} = \frac{Q}{\pi} \ln \frac{(d_1 - a)(1 - a_1)}{(a_1 - a)(1 - d_1)}. \quad (30)$$

Здесь  $d_1, a_1$  — соответственно аффиксы точек  $D_1, A_1$ , вычисляемые по заданным координатам  $x_{D_1} = L_1, y_{A_1} = H_0 + H_1 - \delta/2$  на границе. Выражение для величины  $\varphi_1$  в (30), равной разности потенциалов на скважине и контуре питания, получено из зависимости (2), в которой постоянная  $\varphi_C$  определена на основе (29).

При каждом значении  $Q$ , фиксируемом при решении уравнения (30), параметры  $M, a, c, f, r$  вычисляются по изложенному в п. 3 алгоритму. Реализация этого алгоритма обусловлена ограничениями (28), второе из которых позволяет получить параметр  $r$  в качестве одного из корней уравнения (22). В соответствии с этим последовательность решения подсистемы уравнений (25), (27) изменяется: левая часть уравнения (25) рассматривается как сложная функция параметра  $a \in (-\infty, 0)$ , а параметр  $c$  определяется во внутреннем цикле итерационной процедуры в результате решения уравнения (27). На каждом шаге цикла верхняя граница  $c_*$  допустимых значений параметра  $c$ , зависящая от параметров  $a, Q$ , вычисляется предварительно из соотношения (13). При решении уравнения (30) учитывается, что при  $Q \in (0, Q_*)$  функция  $p(Q)$  монотонно возрастает. Этот факт устанавливается численно.

#### 5. Случай жидкости меньшей плотности, покоящейся под кровлей пласта.

Предположим, что над потоком жидкости с плотностью  $\rho_2$  и вязкостью  $\mu_2$  находится жидкость с меньшей плотностью  $\rho_1$ . Последняя имеет вязкость  $\mu_1$ , вообще говоря, отличающуюся от  $\mu_2$ , и примыкает к кровле пласта. В этом случае область  $z$ , представленная на

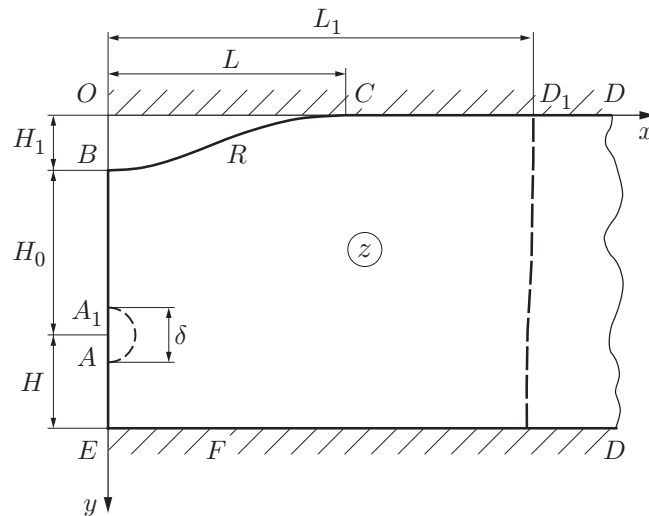


Рис. 6. Область течения в пласте с жидкостью под кровлей пласта

рис. 6, является зеркальным отражением исходной области фильтрации в оси  $x$ . В краевой задаче сохраняются граничные условия (1) включая первое условие на  $BC$ , в котором параметр  $\rho$  определяется равенством

$$\rho = (\rho_2 - \rho_1) / \rho_2. \quad (31)$$

При  $\rho_1 = 0$ ,  $\rho = 1$  равенство (31) переходит в известное условие на свободной поверхности, а краевая задача описывает фильтрацию к скважине в нефтеносном пласте с газовой шапкой.

Области остальных функций, используемых при решении задачи, так же, как и область  $z$ , симметричны соответствующим областям, представленным на рис. 2–5, относительно оси абсцисс. Это означает, что все полученные выше аналитические зависимости переносятся на рассматриваемое течение. Тем не менее при одних и тех же определяющих физических параметрах соответствующие фильтрационные характеристики различны, поскольку при одинаковых плотностях  $\rho_1$  и  $\rho_2$  параметр  $\rho$  в исходной и рассматриваемой схемах имеет разные значения.

Максимальный объем жидкости, покоящейся над потоком при заданном дебите скважины, определяется, как и прежде, в критическом режиме, при котором точка  $B$  превращается в точку заострения линии раздела. В данном случае  $p = -\rho_2 g(\varphi - y)$ , и из соотношения  $w_y = d\varphi/dy \geq \rho$  при параметре  $\rho$ , определяемом согласно (31), следует неравенство  $dp/dy = -\rho_2 g(w_y - 1) \leq -\rho_1 g$ . Таким образом, в рассматриваемом случае течение в критическом режиме также реализуется на грани нарушения гидростатического равновесия покоящейся жидкости.

**6. Численные расчеты, анализ течения.** На основе полученных аналитических зависимостей разработаны алгоритмы расчета характеристик течения. В каждой из двух рассмотренных выше постановок краевой задачи определяющими физическими параметрами являются плотности фильтрующейся и покоящейся жидкостей и расстояние от кровли пласта до точечного стока  $A$ , моделирующего скважину, а при задании давления в скважине — также ее диаметр (в этом случае в схему течения включается контур питания).

Что касается дебита скважины или давления на ней, то заданию одного из этих параметров должно предшествовать нахождение его максимально допустимого значения в критическом режиме с одновременным нахождением объема  $V$  жидкости, остающейся неподвижной при откачке из скважины (эта величина включается в число определяющих физических параметров при последующих расчетах течения в нормальном режиме).

Приведем пример расчетов по описанной выше вычислительной процедуре для конкретной комбинации входных параметров, полагая  $\rho_1 = 0,8$ ,  $\rho_2 = 1$ ,  $H = 0,2$  и задавая давление в скважине диаметром  $\delta = 0,01$ , а также абсциссу  $L_1 = 3$  точки  $D_1$  контура питания.  $U$  используемой при расчетах пьезометрической высоты  $p^0 = p/(\rho_1 g)$  верхний индекс 0 опускается.

Сначала будем считать, что фильтруется более легкая жидкость. В этом случае согласно (1) имеем  $\rho = 0,25$ . Предположим, что в критическом режиме зафиксированы значения  $Q = Q_* = 1$ ,  $p_0 = p_{0*} = -6$ , при этом  $V = 0,00655$ ,  $H_1 = 0,1729$ ,  $L = 0,1131$ ,  $p_{1*} = -5,0624$ . Таким образом, значение  $\Delta p = 0,9376$  принимается равным потерям давления при прохождении жидкости сквозь фильтр. Используя этот параметр для корректировки величины  $p_0$ , при дальнейших расчетах можно считать заданным давление  $p_1$  на скважине в точке  $A_1$ . В каждом расчетном варианте в числе параметров, определяющих течение, задается найденная для критического режима и фиксируемая в дальнейшем величина  $V$  объема подошвенной воды, содержащаяся в уравнении (27).

Для значений  $p_1 = -4; -2; -1; -0,8; -0,7971$  найдено соответственно  $Q = 0,7510; 0,2824; 0,0480; 0,0012; 0,0005$ ,  $H_1 = 0,0981; 0,0535; 0,0260; 0,0063; 0,0044$ ,  $L = 0,1322; 0,2020; 0,3933; 1,7526; 2,6338$ . Согласно (30) при  $p_1 = -0,8; -0,7971$  разность потенциалов на скважине и контуре питания уменьшается до значений  $\varphi_1 = 0,0050; 0,0021$  соответственно, что приводит к практически полному прекращению притока в скважину и растеканию воды по подошве пласта.

Глубина заложения скважины и задаваемое в ней давление (или ее дебит) являются технологическими параметрами, определяющими режим откачки. В конкретной ситуации их следует согласовывать с параметрами, характеризующими естественное состояние пласта. К числу таких параметров относятся величины  $V$ ,  $\rho$ , а в постановке с заданным давлением на скважине — также пластовое давление и расстояние от контура питания до скважины. Максимальный дебит скважины без захвата ею подошвенной воды достигается в случае, если скважина расположена непосредственно под кровлей пласта, т. е. при  $H = 0$ . В рассмотренном примере для такой скважины в критическом режиме получены значения  $Q_* = 1,1085$ ;  $p_{1*} = -7,2376$ .

Столь значительное увеличение степени вакуумирования по сравнению со значением, вычисленным при  $H = 0,2$ , обусловлено как возрастанием продуктивности скважины, так и ее расположением на большей высоте. Поэтому при откачке в нормальном режиме целесообразно закладывать скважину настолько глубоко, насколько это возможно при данном ее дебите без вовлечения в движение воды, минимизируя тем самым влияние силы тяжести. Например, если  $Q = 0,1$ , то нормальный режим откачки сохраняется до значения  $H = 0,7978$ , при котором  $p_1 = -0,6339$ , тогда как при  $H = 0$  имеем  $p_1 = -1,5559$ .

При фиксированном давлении на скважине и контуре питания расстояние  $L_1$  между ними является одним из главных параметров, определяющих интенсивность потока. Так, при  $H = 0,2$ ,  $p_1 = -4$  с увеличением  $L_1$  от 3 до 7 дебит  $Q$  уменьшается с 0,7510 до 0,3877. При этом вода растекается по подошве пласта:  $H_1 = 0,0981; 0,1322$ ,  $L = 0,0627; 0,1776$  соответственно. Заметим, что уже при  $L_1 = 3$  эквипотенциаль, принимаемая в качестве контура питания, практически вертикальна: на кровлю пласта она выходит в точке с абсциссой  $x = 3,00008$ .

В числе других характеристик определяется также значение максимальной скорости фильтрации на границе области течения  $|w_F|$  и абсцисса  $x_F$  точки  $F$ , в которой эта скорость достигается. Согласно расчетам точка  $F$  находится на кровле или подошве при функционировании скважины соответственно в верхней или нижней части пласта, а ее положение практически не зависит от давления на скважине, в то время как зависимость  $|w_F|(Q)$  близка к пропорциональной. При выбранных входных параметрах во всем

диапазоне значений давления на скважине  $x_F = 0,215$ ,  $|w_F|/Q = 1,70$  (изменения зафиксированы лишь в следующих знаках после запятой).

Параметр  $\rho$  оказывает существенное влияние на объем  $V$  подошвенной жидкости, остающейся неподвижной при откачке из скважины, причем при реальных, исчисляемых сотыми долями единицы, значениях параметра  $\rho$  величины  $H_1$ ,  $L$  приближенно пропорциональны этому параметру, а величина  $V$  — его квадрату. Однако на основные структурные характеристики потока изменение  $\rho$  практически не влияет.

В подтверждение сказанному выше приведем результаты расчетов, выполненных при  $H = 0,2$ ,  $\delta = 0,01$ ,  $Q = 1$ ,  $L_1 = 3$ ,  $\rho = 0,2500$ ;  $0,0250$ ;  $0,0025$ . При этих значениях параметра  $\rho$  в критическом режиме течения имеем соответственно  $H_1 = 0,17288$ ;  $0,01776$ ;  $0,00177$ ,  $L = 0,113064$ ;  $0,011306$ ;  $0,001131$ ,  $V = 66 \cdot 10^{-4}$ ;  $67 \cdot 10^{-6}$ ;  $67 \cdot 10^{-8}$ ; вместе с тем во всех трех вариантах получены значения  $p_1 = -5,062$ ,  $x_F = 0,2146$ ,  $w_F = -1,701$ . Выявленные закономерности проявляются также при заложении скважины на больших глубинах. В частности, при  $H = 0,8$  и трех указанных выше значениях  $\rho$  (при тех же прочих входных параметрах) имеем соответственно  $V = 74 \cdot 10^{-6}$ ;  $75 \cdot 10^{-8}$ ;  $75 \cdot 10^{-10}$ ,  $H_1 = 0,018622$ ;  $0,001875$ ;  $0,000187$ ,  $L = 0,011936$ ;  $0,001194$ ;  $0,000119$ ,  $p_1 = -4,469$ ;  $x_F = 0,2146$ ,  $w_F = -1,701$ . Отметим, что в обеих сериях (при  $h = 0,2$ ;  $0,8$ ) значения  $x_F$  и  $w_F$  одинаковы, различие заключается лишь в том, что в первой серии точка  $F$  находится на кровле пласта, а во второй — на его подошве.

Отмеченная в п. 2 инвариантность геометрических характеристик потока к изменению величин  $Q$  и  $\rho$  при сохранении их отношения проявляется и в общем случае, а составляющие скорости фильтрации в каждой точке изменяются, как и в критическом режиме, пропорционально указанным величинам.

В случае  $H = 0$ , когда сток  $A$ , располагаясь на кровле пласта, совмещается с угловой точкой  $E$ , имеем  $a = -\infty$ . При этом полученные выше зависимости и основанные на них вычислительные алгоритмы существенно упрощаются. В частности, в критическом режиме с высокой точностью выполняется равенство  $L \approx \rho/(2Q)$ . Близкая к линейной зависимость  $L(\rho)$  в общем случае зафиксирована в приведенном выше примере численных расчетов.

Предположим теперь, что фильтруется более тяжелая жидкость. Согласно (31) при прежних значениях  $\rho_1 = 0,8$ ,  $\rho_2 = 1$  имеем  $\rho = 0,2$ . Величина  $H$  представляет собой расстояние от подошвы пласта до стока  $A$  (см. рис. 6). Все детали выполненного выше анализа переносятся на рассматриваемую ситуацию с учетом отмеченной в п. 5 перероентации области течения относительно кровли и подошвы пласта. В частности, при  $H = 0,2$ ,  $Q = 1$  для критического режима, являющегося исходным при расчетах, имеем  $V = 0,00422$ ,  $p_1 = -5,0623$ ,  $H_1 = 0,1396$ ,  $L = 0,0905$ ,  $x_F = 0,2146$ ,  $w_F = -1,7013$ . Сопоставление этих значений с полученными при  $\rho = 0,25$  подтверждает заключение о том, что величина  $\rho$  существенно влияет лишь на параметры конуса покоящейся жидкости, примыкающей в данном случае к кровле. Точка  $F$  максимума скорости фильтрации находится теперь на подошве пласта.

Рассмотрим отмеченный в п. 5 случай  $\rho_1 = 0$ ,  $\rho = 1$ , соответствующий фильтрации жидкости в пласте с газовой шапкой. В этом варианте при  $H = 0,2$ ,  $Q = 1$  для критического режима получены значения  $V = 0,0823$ ,  $p_1 = -5,0833$ ,  $H_1 = 0,5180$ ,  $L = 0,4525$ ,  $x_F = 0,2164$ ,  $w_F = -1,7196$ . Объем  $V$  газовой шапки, частично проникающей в нижнюю часть пласта, значительно превышает приведенное выше значение, найденное при  $\rho_1 = 0,8$ . Заметим, что в данном случае дебит скважины  $Q = 1$  обеспечивается практически при том же давлении  $p_1$  на контуре скважины, что и в предыдущем варианте расчета.

**Заключение.** В работе построены точные решения ряда стационарных задач о притоке жидкости к горизонтальной скважине в условиях, когда в пласте присутствует так-

же жидкость с иными физическими параметрами, примыкающая к подошве или кровле пласта. Разработан алгоритм расчета вспомогательных параметров в прямой постановке. Проведены вычисления, позволившие описать геометрические свойства области течения в зависимости от глубины заложения скважины, ее дебита или давления внутри нее. Установлена определяющая роль критических режимов течения при оценке диапазонов значений технологических параметров эксплуатации нефтяного пласта, исключающих прорыв в скважину подошвенной воды.

#### ЛИТЕРАТУРА

1. **Полубаринова-Кочина П. Я.** Теория движения грунтовых вод. М.: Наука, 1977.
2. **Маскет М.** Течение однородных жидкостей в пористой среде. М.; Ижевск: Ин-т компьютер. исслед., 2004.
3. **Чарный И. А.** Подземная гидрогазодинамика. М.: Гостоптехиздат, 1963.
4. **Пирсон С. Д.** Учение о нефтяном пласте. М.: Гостоптехиздат, 1961.
5. **Kidder R. E.** Flow of a immiscible fluids in a porous media: Exact solution of a free boundary problem // J. Appl. Phys. 1956. V. 17, N 8. P. 867–869.

*Поступила в редакцию 29/VI 2007 г.*

---